

FIG. 1

2/11

YOR9-2000-0048

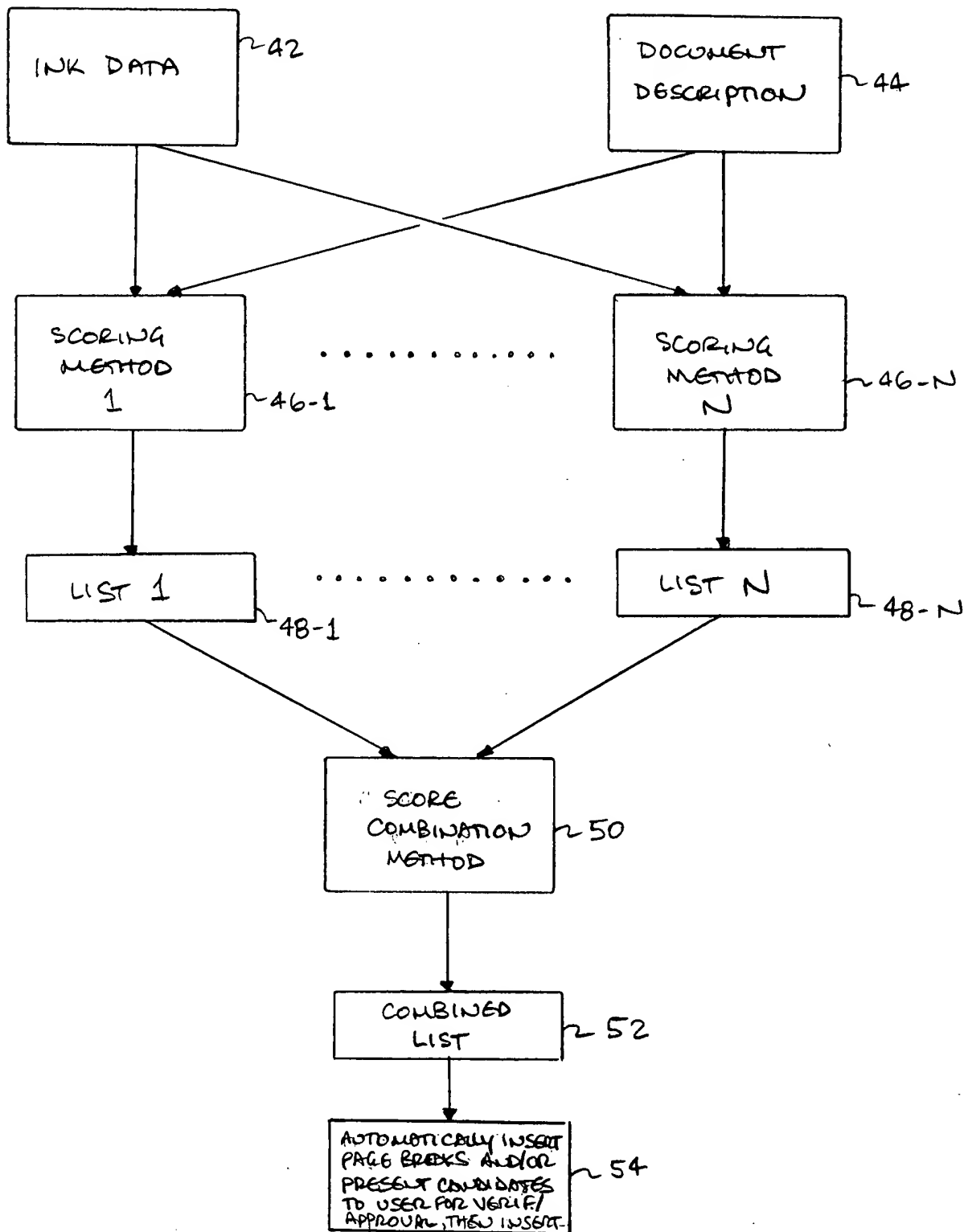
40 ~

FIG. 2

S 300

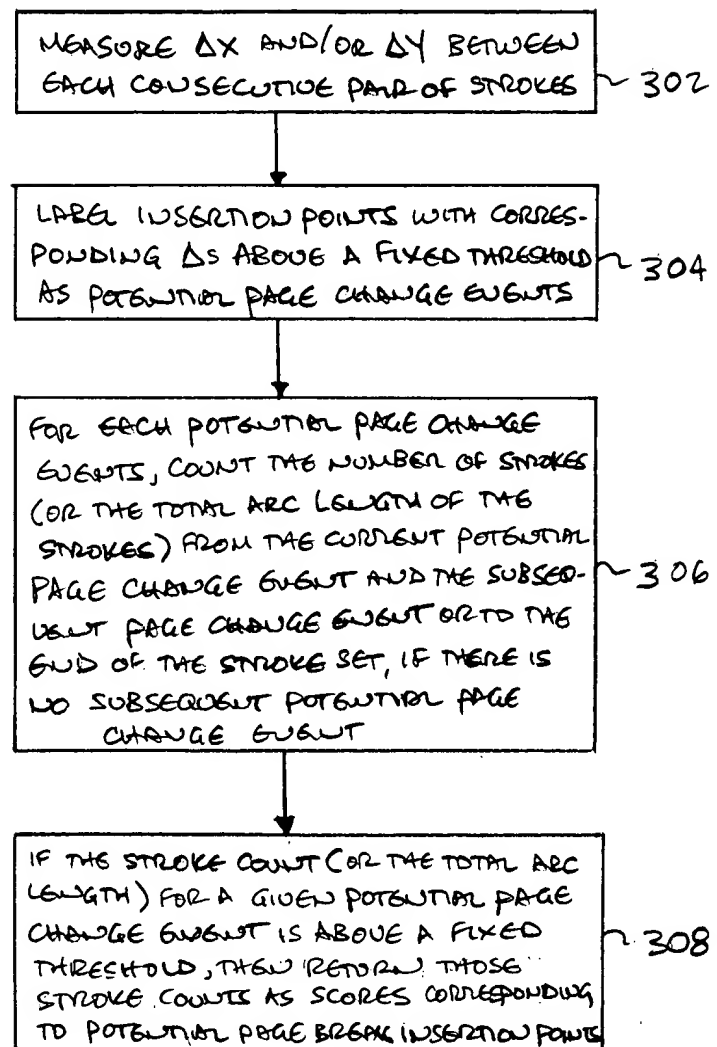


FIG. 3

4/11

YORR-2000-0048

as 400

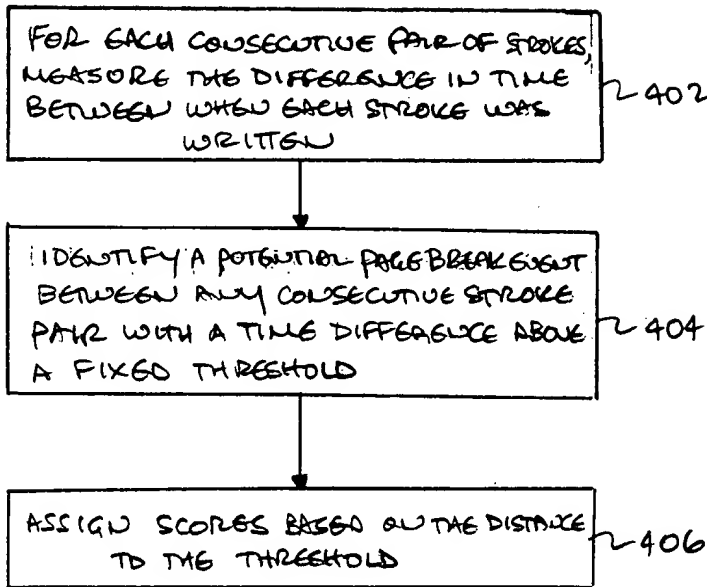


FIG. 4

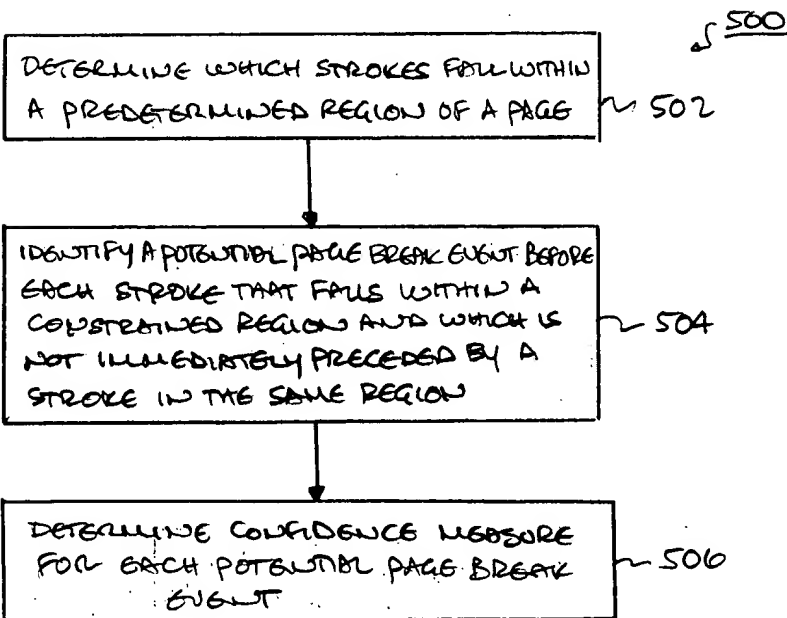


FIG. 5

5/11

1029-2000-0048

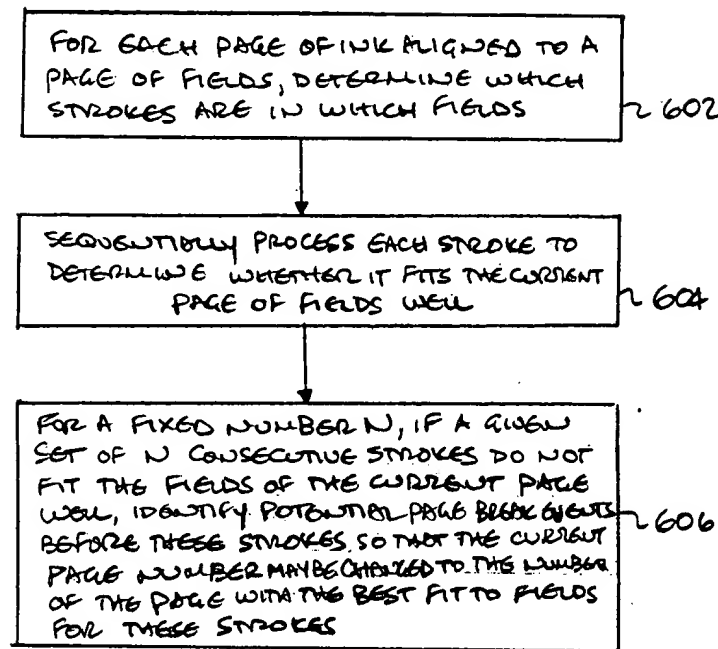


FIG. 6

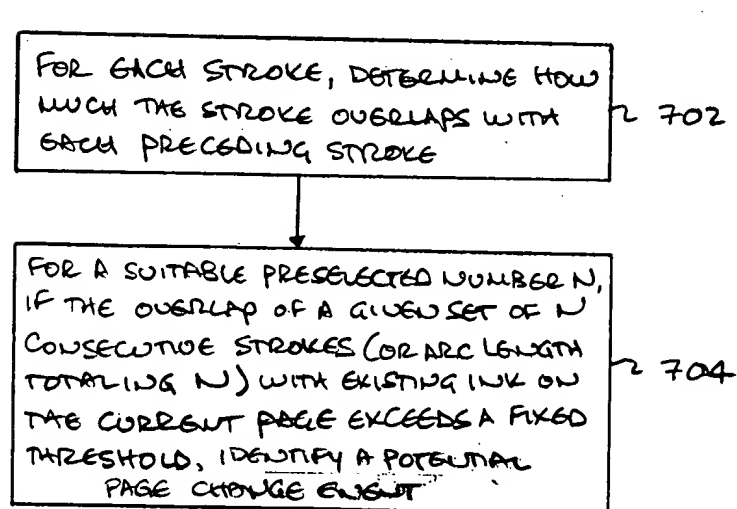


FIG. 7

6/11

4029-2000-0048

FIG. 8A

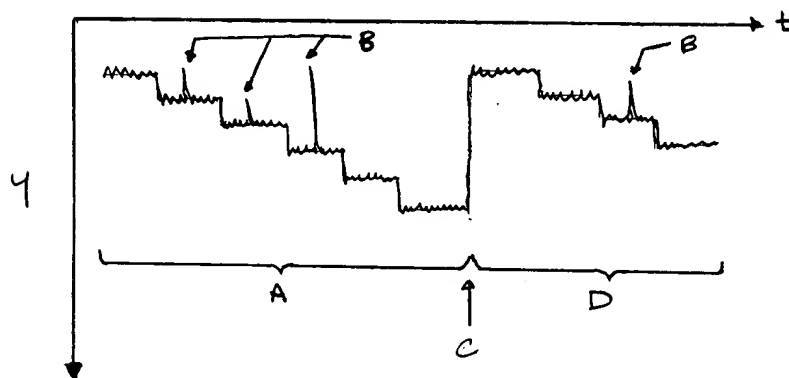


FIG. 8B

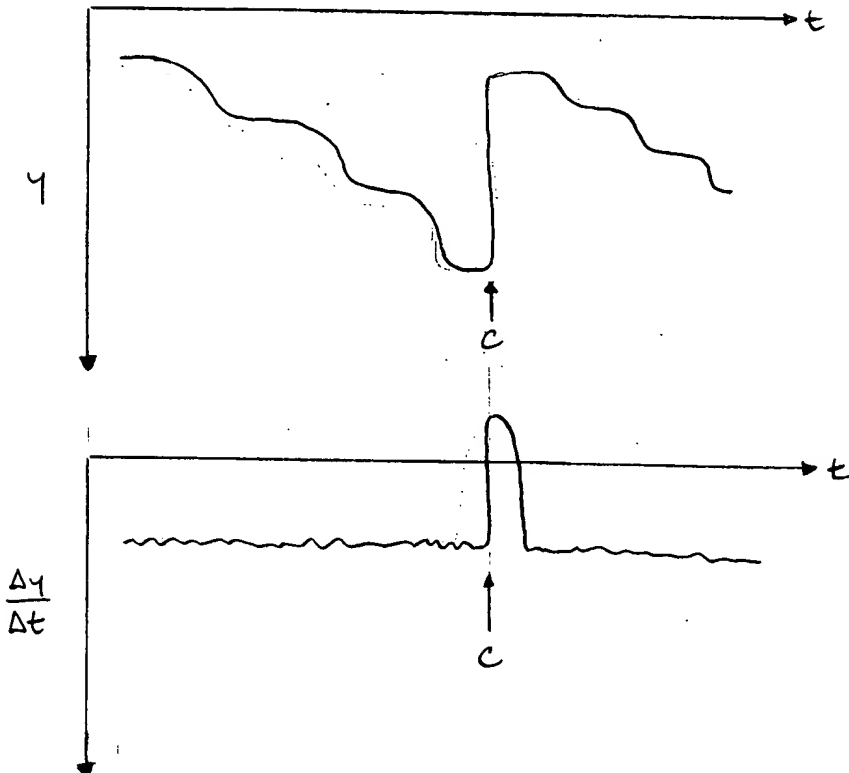
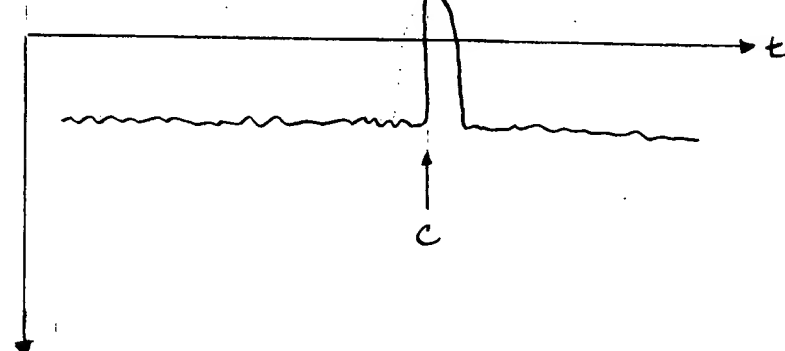


FIG. 8C

$$\frac{\Delta y}{\Delta t}$$



7/11

YORR-2000-0048

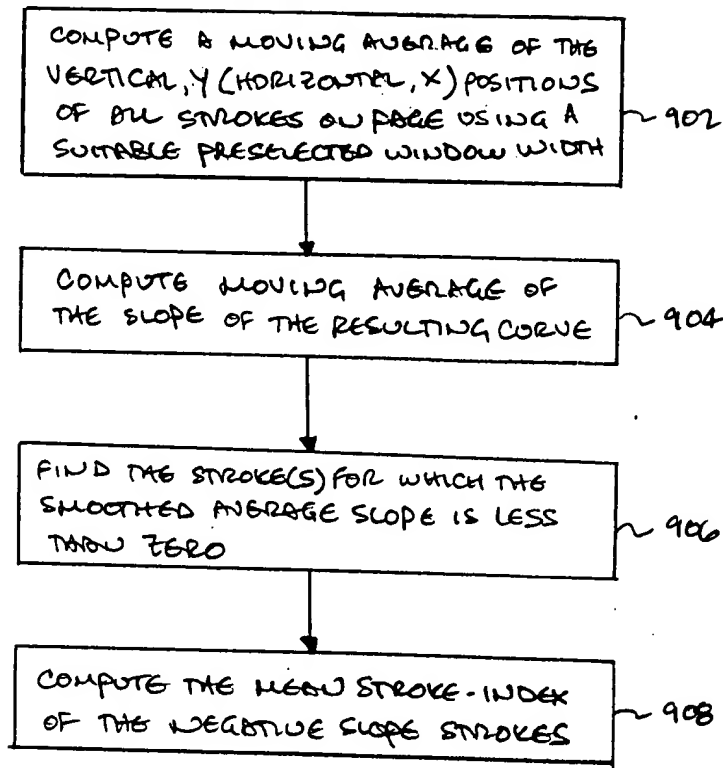


FIG. 9A

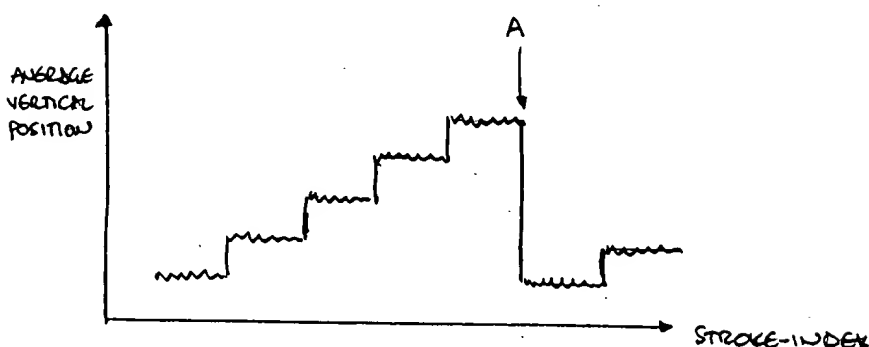


FIG. 9B

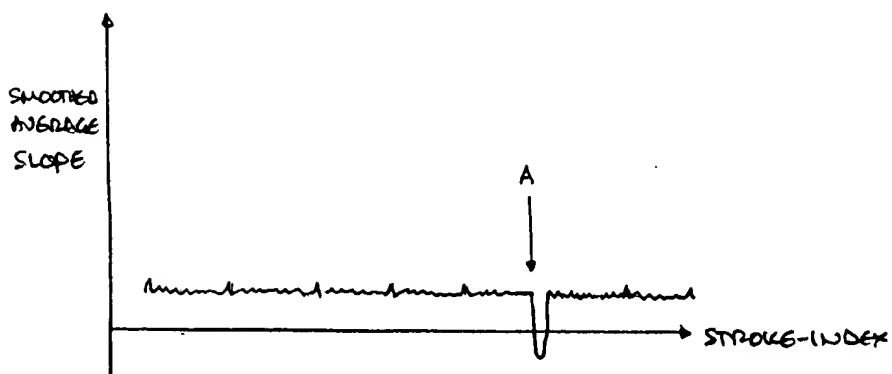


FIG. 9C

8/11

YOR9-2000-0048

1000

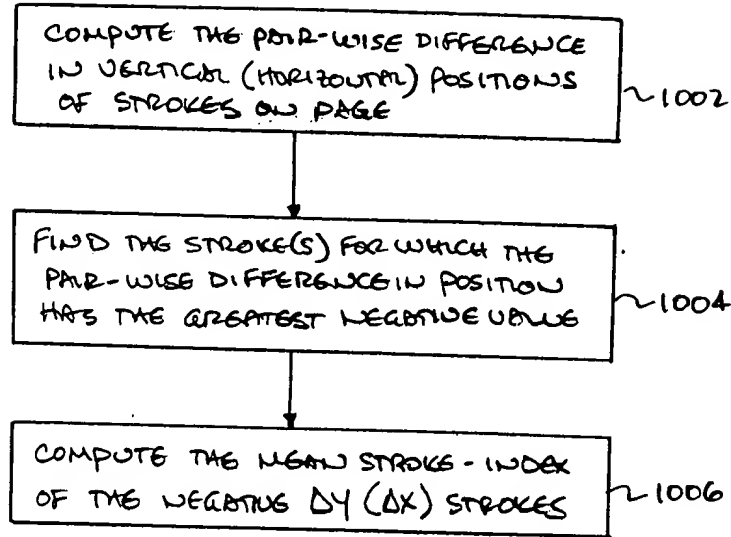
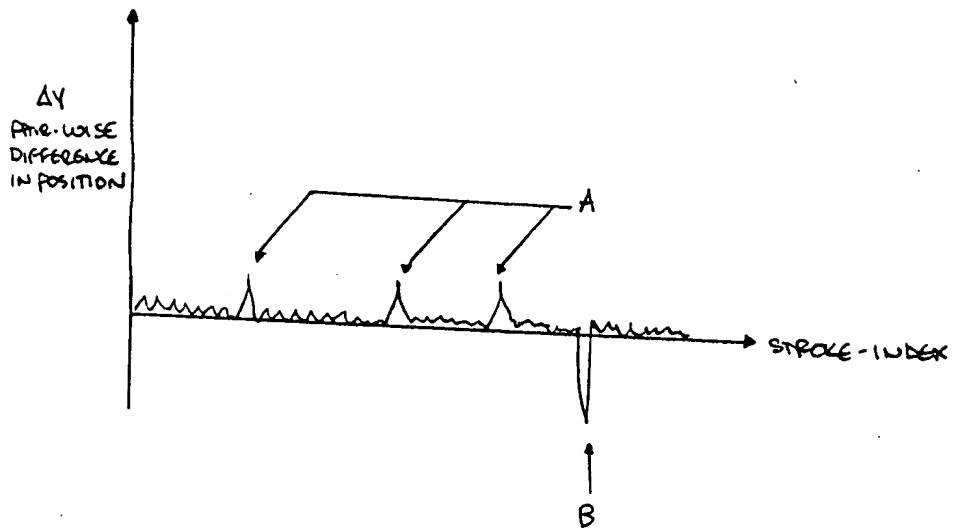


FIG. 10A

FIG. 10B



9/11  
Y089-2000-0048

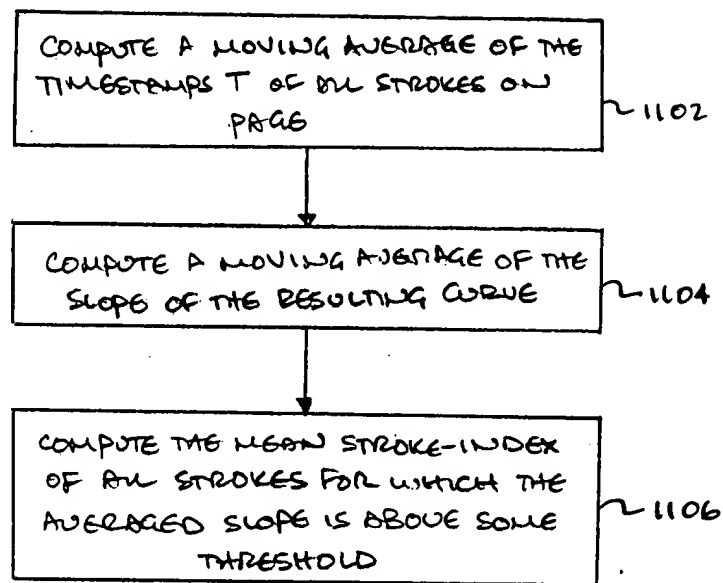
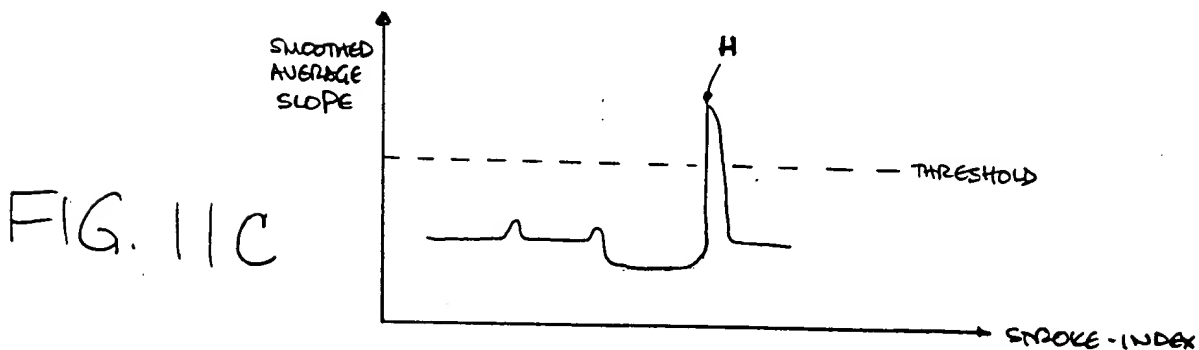
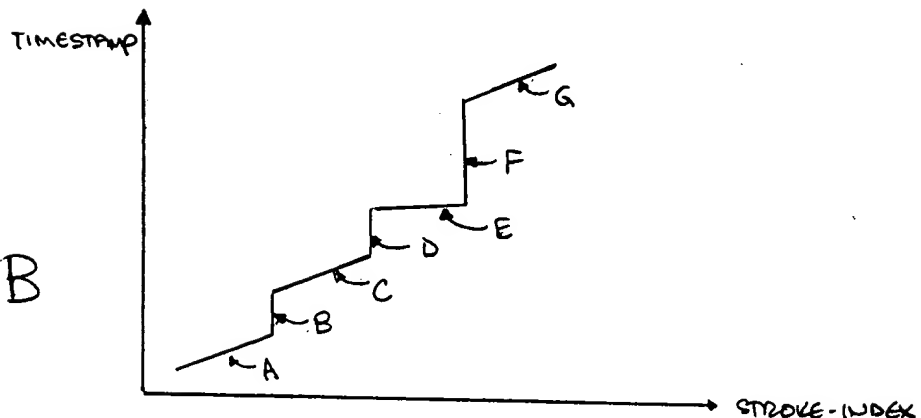


FIG. 11A



10/11  
YOR9-2000-0048

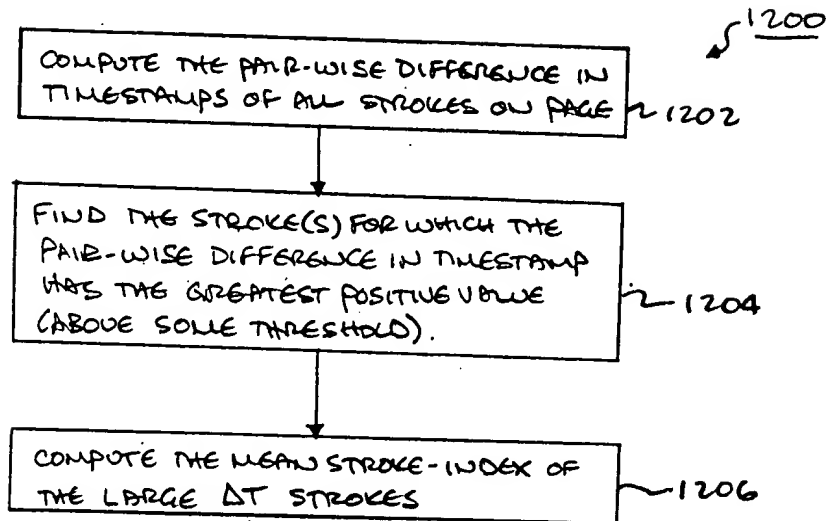
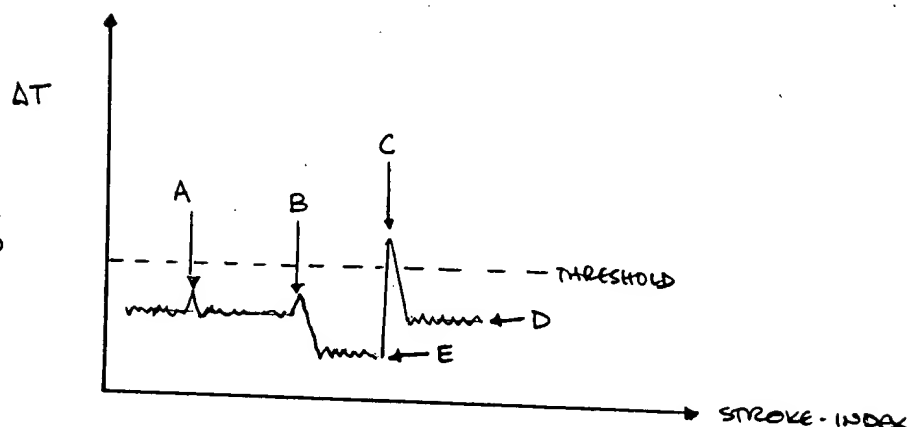


FIG. 12A

FIG. 12B



11/11

Y0R9 - 2000 - 0048

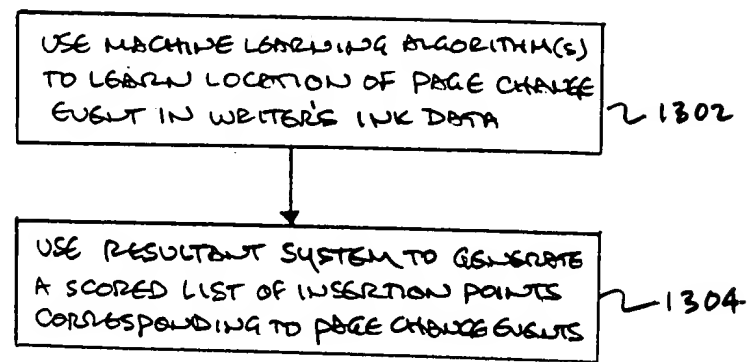


FIG. 13

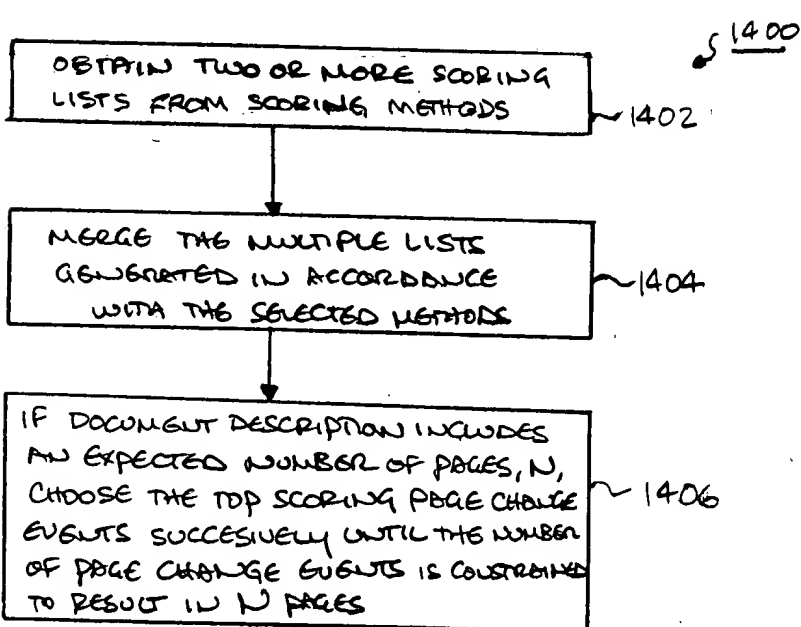


FIG. 14

000000000000000000000000